

เตาหุงต้มเพื่อใช้กับถ่านหินอัดก้อน



นาย สุชาติ อารีรุ่งเรือง

วิทยานิพนธ์นี้เป็นส่วนหนึ่งของการศึกษาตามหลักสูตรปริญญาวิทยาศาสตรมหาบัณฑิต

ภาควิชาเคมีเทคนิค

บัณฑิตวิทยาลัย จุฬาลงกรณ์มหาวิทยาลัย

พ.ศ. 2530

ISBN 974-567-197-5

ลิขสิทธิ์ของบัณฑิตวิทยาลัย จุฬาลงกรณ์มหาวิทยาลัย

012363

i 10300065

COOKING STOVES FOR COAL BRIQUETTES

Mr. Suchart Areerungruang

A Thesis Submitted in Partial Fulfillment of the Requirements

for the Degree of Master of Science

Department of Chemical Technology

Graduate School

Chulalongkorn University

1987

ISBN 974-567-197-5

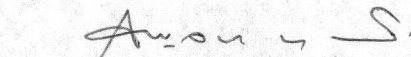
หัวขอวิทยานิพนธ์ เตาหุงต้มเพื่อใช้กับถ่านหินอัดก้อน
 โดย นาย สุชาติ อารีรุ่งเรือง
 ภาควิชา เกมีเทคนิก
 อาจารย์ที่ปรึกษา รองศาสตราจารย์ ดร. สมชาย โวสุวรรณ

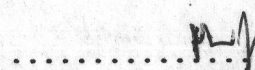


บัณฑิตวิทยาลัย จุฬาลงกรณ์มหาวิทยาลัย อนุมัติให้นับวิทยานิพนธ์ฉบับนี้เป็นส่วนหนึ่งของ
 การศึกษาตามหลักสูตรปริญญามหาบัณฑิต


 คณบดีบัณฑิตวิทยาลัย
 (ศาสตราจารย์ ดร. จารุ วัชราภัย)

คณะกรรมการสอบวิทยานิพนธ์


 ประธานกรรมการ
 (รองศาสตราจารย์ กัญจนा บุญยเกียรติ)


 อาจารย์ที่ปรึกษา
 (รองศาสตราจารย์ ดร. สมชาย โวสุวรรณ)


 กรรมการ
 (ผู้ช่วยศาสตราจารย์ ดร. เลอสรวง เมฆสุต)

หัวข้อวิทยานิพนธ์ เตาหุงต้มเพื่อใช้กับถ่านหินอัดก้อน
 ชื่อนิสิต นาย สุชาติ อารีรุ่งเรือง
 อาจารย์ที่ปรึกษา รองศาสตราจารย์ ดร. สมชาย โวสุวรรณ
 ภาควิชา เกมีเทคนิค¹
 ปีการศึกษา 2529



บทคัดย่อ

งานวิจัยนี้เป็นการวิเคราะห์การถ่ายเทความร้อน ศึกษาลักษณะและความสําฤทธิ์ในการใช้งานในเตาอั้งโล่ เปรียบเทียบระหว่างถ่านไม้และถ่านหินอัดก้อน เพื่อเป็นแนวทางนำถ่านหินอัดก้อนมาใช้ทดแทนถ่านไม้

การทดลองใช้เตาแบบและขนาดที่นิยมใช้ 3 ขนาด คือ ขนาดเส้นผ่าศูนย์กลางภายนอก 24, 27 และ 30 เซนติเมตร พนวิเคราะห์การถ่ายเทความร้อนในเตาหุงต้มในส่วนที่นำไปใช้ประโยชน์ และส่วนที่สูญเสียความร้อนในส่วนต่าง ๆ คือ พนังเตาโดยรอบ ช่องลมด้านหน้า ช่องระหว่างกันจากชานและขอบเตา และจากการสะส່ມความร้อนในตัวเตา เมื่อใช้ถ่านไม้และถ่านหินอัดก้อนมีค่าไกล์เคียงกันมาก มีผลให้ประสิทธิภาพอยู่ในช่วงประมาณร้อยละ 30-33 ของปริมาณความร้อนที่ให้จากเชื้อเพลิง การสูญเสียความร้อนส่วนใหญ่จากช่องว่างระหว่างกันจากชานและขอบเตามีค่าสูง ประมาณร้อยละ 50 ของปริมาณความร้อนที่ให้จากเชื้อเพลิง การสูญเสียด้านอื่น ๆ มีค่าน้อย ในด้านการศึกษาลักษณะและความสําฤทธิ์ในการใช้งาน พนวิเคราะห์รูปแบบเดิมสามารถใช้กับถ่านหินอัดก้อนได้ แต่จะต้องดัดแปลงรังผึ้งให้มีลักษณะเป็นตะแกรงเหล็กที่มีพื้นที่ช่องว่างมากกว่าเดิม เพื่อความสําฤทธิ์ในการเชี่ยวชาญห้องเผาใหม่ระหว่างการใช้งาน ตัวแปรที่มีผลต่อประสิทธิภาพคือ ความสูงของเชิงเทินเมื่อลดลง ประสิทธิภาพจะสูงขึ้น ก้าวที่เหมาะสมจะอยู่ในช่วง 0.7-1.1 เซนติเมตร ขนาดของช่องลมด้านหน้าและความหนาของรังผึ้งไม่มีผลต่อประสิทธิภาพ ขนาดของภาชนะควรจะใหญ่กว่าเตาเล็กน้อย ปริมาณน้ำที่ใช้จะมีผลต่อประสิทธิภาพเล็กน้อย ปริมาณถ่านหินอัดก้อนที่ใช้ควรใส่ประมาณ 2/3 ของปริมาตรห้องเผาใหม่ สำหรับ

ชนิดของภาชนะหุงต้ม เช่น กาน้ำมันน้ำ กระทะ หม้อแขก จะมีประสิทธิภาพการใช้งานต่าง ๆ กันไป เมื่อเทียบกับการใช้หม้ออลูมิเนียมและเมื่อนำถ่านหินอัดก้อนที่มีค่าความร้อนต่าง ๆ กันระหว่าง $3,100-4,300$ แคลอรี่/กรัม (ไม่รวมความชื้น) มาทดสอบการใช้งาน พบว่าประสิทธิภาพและการสูญเสียความร้อนจากส่วนต่าง ๆ ใกล้เคียงกัน จึงสรุปได้ว่าเตาอังโล่แบบเดิมสามารถนำมาใช้งานกับถ่านหินอัดก้อนได้ โดยมีการดักแปลงรังผึ้งให้สะดวกต่อการเขี่ยເسئ้า ถ้ามีความจำเป็น และอาจทำการปรับปรุงให้มีประสิทธิภาพการใช้งานสูงขึ้นได้บ้าง

Thesis Title Cooking Stoves for Coal Briquettes

Name Mr. Suchart Areerungruang

Thesis Advisor Associate Professor Somchai Osuwan, Ph.D.

Department Chemical Technology

Academic Year 1986

ABSTRACT



This research work is concerned with the analysis of heat transfer and the characteristics of traditional Thai bucket stove, employing wood charcoal and coal briquettes made from coal fines. The result will indicate the possibility of wood charcoal substitution by coal briquettes.

In the experiment, three traditional bucket stoves with outer diameter of 24, 27 and 30 centimeters were used. Heat transfer in the stove while burning coal briquettes and charcoal was analysed and compared. It is found that efficiency and heat loss from certain parts of the stove, i.e. stove wall, air inlet door, air outlet gap and accumulation in the stove, are not different. Stove efficiency is about 30-33 % of total heat from combustion. Heat loss from exhaust gap is the largest item, which is 50 % of total heat from combustion. In studying characteristics and convenience in using, the results indicate that original bucket stove can be used with coal briquettes but the grate should be replaced by an iron grate, having larger opening area than the former earthenware grate, to facilitate poking. When the height of the prongs was lowered, the efficiency increased. The

optimum height is between 0.7-1.1 centimeter. The size of air inlet door and the thickness of the grate do not affect efficiency. The size of aluminum pot should be a little bigger than the size of the stove to get high efficiency. The amount of water has little effect on efficiency. The optimum amount of coal briquettes should fill up about 2/3 of combustion chamber volume. For other types of cooking utensils, e.g. kettles, woks and Indian pots, the efficiency obtained is different from that of aluminum pot. The experiment with coal briquettes of various heating values, between 3,100-4,300 cal/g (dry basis), showed about the same efficiency and heat losses. All in all, it can be concluded that the original bucket stove can be used with coal briquettes but its grate should be improved for ease of poking, if necessary, and that the stove efficiency can be improved to a certain extent.



กิตติกรรมประกาศ

ขอรับขอบพระคุณ รองศาสตราจารย์ ดร.สมชาย โอดสุวรรณ อาจารย์ที่ปรึกษา
วิทยานิพนธ์ ที่ได้ให้ความช่วยเหลือ แนะนำ คูณเป็นอย่างคีมายโดยตลอด รวมทั้งอาจารย์ทุก
ท่านที่ได้ให้คำปรึกษาและแนะนำ ทราบขอบคุณคณะกรรมการวิทยานิพนธ์ทุกท่านที่ได้สละเวลาใน
การสอบ และขอบคุณสำนักงานพลังงานแห่งชาติ และเจ้าหน้าที่ห้องปฏิการภาควิชาเคมีเทคนิค^{ที่ได้ออนุเคราะห์ให้ความสะดวกในการศึกษาเรื่องมือและอุปกรณ์ที่ใช้}

ขอขอบคุณ บริษัท แฟร์ลิกไนท์ จำกัด ที่ได้ตัวอย่างถ่านหินเพื่อใช้ในการวิจัย ขอบคุณ
ศูนย์เครื่องมือวิทยาศาสตร์และเทคโนโลยี จุฬาลงกรณ์มหาวิทยาลัย และบริษัทวิศวกรรมเคมี จำกัด
ที่ช่วยวิเคราะห์ตัวอย่างถ่านหิน

ขอขอบคุณ พี่ ๆ เพื่อน ๆ น้อง ๆ ในคณะวิทยาศาสตร์ และวิศวกรรมศาสตร์ ที่ให้ความ
ช่วยเหลือและสนับสนุน ในการทำวิทยานิพนธ์มาโดยตลอด

ท้ายสุด ขอรับขอบพระคุณ คุณพ่อ คุณแม่ ที่เคยช่วยเหลือสนับสนุนและให้กำลังใจเสมอ
มาจนสำเร็จการศึกษา



สารบัญ

หน้า

บทคัดย่อภาษาไทย	๑
บทคัดย่อภาษาอังกฤษ	๒
กิตติกรรมประกาศ	๓
สารบัญตาราง	๔
สารบัญรูป	๕

บทที่

1. บทนำ	1
2. ทฤษฎีและงานวิจัยที่เกี่ยวข้อง	4
2.1 ถ่านหินและการอัดก้อนถ่านหิน	4
2.2 เตาหุงต้ม	8
2.3 การถ่ายเทความร้อนในเตาหุงต้ม	23
2.4 ประสิทธิภาพการใช้งานของเตาหุงต้ม	28
2.5 ความร้อนที่สูญเสียตามส่วนต่าง ๆ ของเตาหุงต้ม	33
2.6 งานวิจัยที่เกี่ยวข้อง	36
3. เครื่องมือและวิธีการทดลอง	39
3.1 วัสดุที่ใช้ในการทดลอง	39
3.2 เครื่องมือและอุปกรณ์ที่ใช้ในการทดลอง	40
3.3 ขั้นตอนและวิธีการทดลอง	42
4. ผลการทดลองและวิเคราะห์ผล	62
4.1 ผลการวิเคราะห์สารตัวอย่างที่ใช้	62
4.2 ผลการวิเคราะห์การถ่ายเทความร้อนในเตาหุงต้ม	65
4.2.1 ผลการศึกษาประสิทธิภาพการใช้งานของเตาหุงต้ม ...	65
4.2.2 ผลการศึกษาความร้อนที่สูญเสียตามส่วนต่าง ๆ ของเตาหุงต้ม	67

บทที่	หน้า
ก. การสูญเสียทางพิวของเตาหุงต้ม	67
ข. การสูญเสียทางช่องลมด้านหน้าของเตาหุงต้ม ..	68
ค. การสูญเสียเนื่องจากสะสมอยู่ภายในตัวเตาหุงต้ม ..	69
4.2.3 ผลการวัดปริมาณความร้อนที่ให้แก่ภาชนะหุงต้มทั้งหมดโดยการแผ่รังสี	70
4.3 ผลการศึกษาลักษณะและความสະควรในการใช้งาน	78
4.3.1 ผลการศึกษาปริมาตรของห้องเผาไฟมีในเตาหุงต้ม ..	78
4.3.2 ผลการศึกษาความสະควรในการใช้งาน ในแต่การเติมเชื้อเพลิง การเขี่ย การจุดติด และการเก็บเศ้าออกจากเตาหุงต้ม	80
4.3.3 ผลการศึกษาการปรับปรุง ดัดแปลงรังผึ้งให้เหมาะสมกับการใช้ถ่านหินอัดก้อน	84
4.3.4 ผลการศึกษาการเพิ่มความสูงของเตาหุงต้ม	90
4.3.5 ผลการศึกษาการดัดแปลงลักษณะที่วางภาชนะในเตาหุงต้มเทียบกับเตาประสิทธิภาพสูงของกรมป่าไม้	93
4.4 ผลการศึกษาตัวแปรที่มีผลต่อประสิทธิภาพการใช้งานของเตาหุงต้มโดยใช้ถ่านหินอัดก้อนเป็นเชื้อเพลิง	94
4.4.1 ผลการศึกษาตัวแปรที่เกี่ยวกับตัวเตาหุงต้ม	94
ก. ความสูงเชิงเทิน	94
ข. ขนาดของช่องลมด้านหน้า	95
ค. ความหนาของรังผึ้ง	96
4.4.2 ผลการศึกษาตัวแปรที่ไม่เกี่ยวกับตัวเตาหุงต้ม	97
ก. ขนาดของหม้ออลูมิเนียม	97
ข. ปริมาณน้ำ	97
ค. ปริมาณถ่านหินอัดก้อน	98
ง. ชนิดของภาชนะหุงต้มอื่น ๆ	99

4.5 ผลการวิเคราะห์การถ่ายเทความร้อนในเตาหุงต้มโดยใช้ด่านหิน-อัดก้อนที่มีค่าความร้อนต่าง ๆ กัน	101
5. สุรุปผลการทดลองและข้อเสนอแนะ	103
เอกสารอ้างอิง	109
ภาคผนวก	
ภาคผนวก ก. การคำนวณหาปริมาณส่วนประกอบต่าง ๆ เช่น คินเนี่ยวบูนขาว และน้ำ ที่เติมลงไปเพื่อผสมกับด่านหินในการทำด่านหินอัดก้อน	115
ภาคผนวก ข. การคำนวณหาค่าความร้อนของด่านหินอัดก้อน	116
ภาคผนวก ค. ตัวอย่างข้อมูลและการคำนวณการถ่ายเทความร้อนในเตา	117
ภาคผนวก ง. การคำนวณร้อยละของปริมาณอากาศเกินพอด่านหิน	130
ภาคผนวก จ. ลักษณะและขนาดของเตาประสิทธิภาพสูงกรมป่าไม้	131
ประวัติผู้เขียน	132

สารบัญตาราง

ตารางที่	หน้า
2.1 การแป่งถ่านหินตามศักดิ์ โดยวิธี ASTM D388	4
2.2 การสำรวจปริมาณการใช้เชื้อเพลิงหุงต้มทั่วประเทศไทย ในปี 2523 ...	5
2.3 ประสิทธิภาพการใช้งานของเตาหุงต้มประเภทต่าง ๆ ที่จำหน่ายใน ห้องตลาด	11
2.4 ผลการสำรวจการใช้เตาหุงต้มในครัวเรือนชนบท 50 หมู่บ้าน ทั่วประเทศไทย ปี 2525	12
3.1 ลักษณะของเตาอังโลหัต 3 ขนาด ที่ใช้ในการทดลอง	40
3.2 สภาพการทดลองการหาประสิทธิภาพการใช้งานของเตาหุงต้มหัต 3 ขนาด	50
3.3 สภาพการทดลองการหาประสิทธิภาพการใช้งานแบบต่อเนื่องของเตา หุงต้มหัต 3 ขนาด	55
3.4 สภาพการทดลองการหาประสิทธิภาพการใช้งานแบบต่อเนื่องของเตา ขนาด 27 ซม. โดยใช้รังสีที่ดัดแปลงใหม่ 2 แบบ	58
3.5 ชนิดของถ่านหินอัดก้อนที่มีค่าความร้อนต่าง ๆ กัน ที่ใช้ในการทดลอง	61
4.1 ผลการวิเคราะห์ถ่านหินจากเหมืองบ้านปู	62
4.2 ผลการวิเคราะห์ค่าความชื้นและคำนวณค่าความร้อนของถ่านหินอัดก้อน	63
4.3 ผลการวิเคราะห์ค่าความชื้นและค่าความร้อนของถ่านไม้	64
4.4 ผลของการทดสอบประสิทธิภาพการใช้งานของเตาหุงต้มหัต 3 ขนาด เปรียบเทียบระหว่างถ่านไม้และถ่านหินอัดก้อน	66
4.5 ผลของการสูญเสียความร้อนจากผิวของเตาหุงต้มหัต 3 ขนาด เปรียบ- เทียบระหว่างถ่านไม้และถ่านหินอัดก้อน	67
4.6 ผลของการสูญเสียความร้อนทางช่องลมด้านหน้าของเตาหุงต้มหัต 3 ขนาด เปรียบเทียบระหว่างถ่านไม้และถ่านหินอัดก้อน	68

4.7	ผลของการทำการสูญเสียเนื่องจากสะสมอยู่ภายในตัวเตาหุงต้มทั้ง 3 ขนาด เปรียบเทียบระหว่างถ่านไม้และถ่านหินอัดก้อน	69
4.8	ผลของการวัดปริมาณความร้อนที่ให้แก่ภาชนะหุงต้มหงษ์โดยการแผ่รังสีในเตาขนาด 30 ซม. เปรียบเทียบระหว่างวิธีวัดอุณหภูมิแล้ว คำนวณ และวิธีหาโดยใช้เครื่องมือวัดโดยใช้ถ่านไม้และถ่านหินอัดก้อน	70
4.9	ผลของการวัดปริมาณความร้อนที่ให้แก่ภาชนะหุงต้มหงษ์ 3 ขนาด เปรียบเทียบระหว่างถ่านไม้และถ่านหินอัดก้อน	71
4.10	สรุปผลของการวิเคราะห์การถ่ายเทความร้อนในเตาหุงต้มหงษ์ 3 ขนาด เปรียบเทียบระหว่างถ่านไม้และถ่านหินอัดก้อน	76
4.11	ผลของการทดสอบประสิทธิภาพการใช้งานของเตาแบบต่อเนื่อง ในเตาหุงต้มหงษ์ 3 ขนาด เปรียบเทียบระหว่างถ่านหินอัดก้อนและถ่านไม้ ..	81
4.12	ผลของการทดสอบประสิทธิภาพการใช้งานของเตาแบบต่อเนื่อง และความยากง่ายในการเขยี่ยวของเตาขนาด 27 ซม. ชี้่งใช้ถ่านหินอัดก้อน โดยการใช้รังสีที่คัดแปลง 3 ชนิด	84
4.13	ผลของการทดสอบประสิทธิภาพการใช้งานของเตาแบบต่อเนื่อง และความยากง่ายในการเขยี่ยวของเตาขนาด 27 ซม. ชี้่งใช้ถ่านหินอัดก้อน โดยการใช้ค่าแรงเหล็กที่มีระยะห่างของชีดีแกรง 1.2, 1.6 และ 2.0 ซม.	88
4.14	ผลของการเปลี่ยนแปลงพื้นที่ป้องกันในรังสีต่อประสิทธิภาพการใช้งานในเตาขนาด 27 ซม. โดยใช้ถ่านหินอัดก้อน	88
4.15	ข้อมูลของการวัดร้อยละของออกซิเจน ร้อยละการบอนไครอกไซค์ และผลการหาร้อยละของปริมาณอากาศเกินพอด้วยกับเวลา เปรียบเทียบระหว่างถ่านไม้และถ่านหินอัดก้อนในเตาขนาด 27 ซม.	90
4.16	ผลของการทดสอบประสิทธิภาพการใช้งานของเตาขนาด 27 ซม. ที่มีความสูง 22, 27, 32 และ 37 ซม. โดยใช้ถ่านหินอัดก้อนเป็นเชือกเพลิง	91

ตารางที่		หน้า
4.17	ผลของการหาประสิทธิภาพการใช้งานของเตาขนาด 27 ซม. เปรียบเทียบกับเตากรรมป่าไม้ โดยใช้มืออุ่นวีเนียมหลายขนาด ใช้ถ่านหินอัดก้อนเป็นเชื้อเพลิง	93
4.18	ผลของการหาประสิทธิภาพการใช้งานของเตาขนาด 27 ซม. เปรียบเทียบกับความสูงเชิงเทิน โดยใช้ถ่านหินอัดก้อน	94
4.19	ผลของการหาประสิทธิภาพการใช้งานของเตาขนาด 27 ซม. ที่มีความสูง 32 ซม. เปรียบเทียบกับขนาดของช่องลมด้านหน้า โดยใช้ถ่านหินอัดก้อน	95
4.20	ผลของการหาประสิทธิภาพการใช้งานของเตาขนาด 27 ซม. ที่มีความสูง 27 ซม. เปรียบเทียบกับความหนาของรังผึ้ง โดยใช้ถ่านหินอัดก้อน	96
4.21	ผลของการหาประสิทธิภาพการใช้งานของเตาขนาด 27 ซม. เปรียบเทียบกับขนาดหม้ออุ่นวีเนียม โดยใช้ถ่านหินอัดก้อน	97
4.22	ผลของการหาประสิทธิภาพการใช้งานของเตาขนาด 27 ซม. เปรียบเทียบกับปริมาณน้ำที่ใช้ โดยใช้ถ่านหินอัดก้อน	98
4.23	ผลของการหาประสิทธิภาพการใช้งานของเตาขนาด 27 ซม. เปรียบเทียบกับปริมาณถ่านหินอัดก้อนที่ใช้ โดยใช้ถ่านหินอัดก้อน	99
4.24	ผลของการหาประสิทธิภาพการใช้งานของเตาขนาด 27 ซม. เปรียบเทียบระหว่างภาชนะทุงต้มที่ต่างกัน ที่ความสูงเชิงเทิน 0.7 ซม. และ 1.4 ซม. โดยใช้ถ่านหินอัดก้อน	100
4.25	ผลของการวิเคราะห์การถ่ายเทความร้อนในเตาขนาด 27 ซม. เปรียบเทียบกับถ่านหินอัดก้อนที่มีค่าความร้อนต่าง ๆ กัน	102

สารบัญรูป

รูปที่	หน้า
2.1 รูปร่างของถ่านหินอัดก้อนแบบต่าง ๆ	7
2.2 A double-roll press	7
2.3 ส่วนประกอบ 3 ส่วน ที่จำเป็นของเตาหุงต้ม	9
2.4 ลักษณะของเตาอั้งโล่โดยทั่ว ๆ ไป	13
2.5 ลักษณะรูปร่างคร่าว ๆ ของเตา Jiko ในเกนยา	17
2.6 ลักษณะรูปร่างของเตา Feu Malgache ในแอฟริกาตะวันตก	18
2.7 ลักษณะรูปร่างของเตาในอินโด네เซีย	18
2.8 ลักษณะรูปร่างของเตา Priyagni ในอินเดีย	19
2.9 ลักษณะรูปร่างของเตา Portable Magan Chulha ในอินเดีย	19
2.10 ลักษณะรูปร่างของเตา Louga ในชีนีกัสเนื้อ	20
2.11 ลักษณะรูปร่างของเตา Magan ในอินเดีย	20
2.12 ลักษณะรูปร่างของเตา HERL ในอินเดีย	21
2.13 ลักษณะรูปร่างของเตา New PDI Family Cooker ในปากีสถาน ..	22
2.14 การสูญเสียความร้อนตามส่วนต่าง ๆ ของเตาหุงต้มและภาชนะ ..	34
3.1 เครื่องบดถ่านหิน ชนิด Hammer Mill	43
3.2 เครื่องผสม (Mixer)	43
3.3 เครื่องอัดก้อนแบบ Double Ring Roll	44
3.4 เตาอั้งโล่ขนาด 24, 27 และ 30 ซม.	44
3.5 เตาอั้งโล่ (1) เปรียบเทียบกับเตาประสิทธิภาพสูงของกรมป่าไม้ (2)	45
3.6 เครื่องมือวัดความร้อนที่ได้รับต่อหน่วยพื้นที่-เวลา (Heat flux meter)	45
3.7 เครื่องมือวัดอุณหภูมิ (Thermocouple)	46
3.8 เครื่องบันทึก (Recorder)	46
3.9 เครื่องมือวัดอุณหภูมิแบบไฟฟ้า (Digital Thermocouple) และ หัววัดอุณหภูมิ	47

3.10	เครื่องมือวัดกําจัดการบอนไดออกไซด์ และออกซิเจน (Gas Analysers for Measuring Carbon Dioxide and Oxygen)	47
3.11	รังผึ้งที่ตัดแปลง (1) ชนิดเดิม (2) ชนิดเขื่อม 2 รูให้ติดกัน (3) ชนิดเขื่อม 3 รูให้ติดกัน (4) ชนิดเขื่อมให้มีลักษณะเป็นช่อง ยาว ๆ	48
3.12	ตะแกรงเหล็กที่มีระยะห่างชี้ตะแกรง 1.2 ซม. (1), 1.6 ซม. (2) และ 2.0 ซม. (3)	48
3.13	รังผึ้งที่มีความหนาต่างกัน (1) 1.8 ซม., (2) 2.5 ซม., (3) 3.0 ซม., (4) 3.5 ซม. และ (5) 4.0 ซม.	49
3.14	เตาอังโล่ขนาด 27 ซม. ที่มีความสูง 27 ซม., 32 ซม. และ 37 ซม.	49
3.15	การวัดอุณหภูมิที่ผิวของเตาโดยรอบ ใช้เครื่องมือวัดอุณหภูมิแบบไฟฟ้า พร้อมหัววัดแบบสัมผัสกับผิว	52
3.16	การวัดความร้อนที่สูญเสียทางช่องลมด้านหน้า โดยใช้เครื่องมือวัดความร้อน	52
3.17	การวัดปริมาณความร้อนที่ให้แก่ภาชนะหุงต้มหั้งหมุดโดยการแผ่รังสี ณ ตำแหน่งความสูงต่าง ๆ โดยใช้เครื่องมือวัดความร้อน	54
3.18	การวัดอุณหภูมิที่ปากเตาหุงต้มโดยใช้เครื่องมือวัดอุณหภูมิ	54
3.19	ลักษณะการวางฟืนและชี้ให้เพื่อการจุดดิกของถ่านหินอัดก้อน	57
3.20	การใช้พัดลมขนาดเล็กเป่าลมเข้าทางช่องลมด้านหน้า เพื่อให้วันหมุด เร็วขึ้นของถ่านหินอัดก้อน	57
3.21	การวัดร้อยละของออกซิเจนและร้อยละของการบอนไดออกไซด์ของ กําชที่เกิดจากการเผาใหม่โดยใช้เครื่องมือวิเคราะห์กําช	60
3.22	ลักษณะที่วางภาชนะของเตาอังโล่เทียบกับเตาประสิทธิภาพสูงของ กรมปาไธ	60
4.1	ลักษณะของถ่านหินอัดก้อนแบบรูปไข่ (Ovoid) เปรียบเทียบกับถ่านไม้	65

รูปที่		หน้า
4.2	กราฟแสดงปริมาณความร้อนที่ให้แก่ภาชนะหุงต้มทั้งหมดโดยการแพร่รังสี ณ ตำแหน่งตรงกลางปากเตาหุงต้มขนาด 24 ซม. เที่ยงกับเวลา	73
4.3	กราฟแสดงอุณหภูมิ ณ ตำแหน่งตรงกลางปากเตาหุงต้มขนาด 24 ซม. เที่ยงกับเวลา	73
4.4	กราฟแสดงปริมาณความร้อนที่ให้แก่ภาชนะหุงต้มทั้งหมดโดยการแพร่รังสี ณ ตำแหน่งตรงกลางปากเตาหุงต้มขนาด 27 ซม. เที่ยงกับเวลา .	74
4.5	กราฟแสดงอุณหภูมิ ณ ตำแหน่งตรงกลางปากเตาหุงต้มขนาด 27 ซม. เที่ยงกับเวลา	74
4.6	กราฟแสดงปริมาณความร้อนที่ให้แก่ภาชนะหุงต้มทั้งหมดโดยการแพร่รังสี ณ ตำแหน่งตรงกลางปากเตาหุงต้ม ขนาด 30 ซม. เที่ยงกับเวลา	75
4.7	กราฟแสดงอุณหภูมิ ณ ตำแหน่งตรงกลางปากเตาหุงต้มขนาด 30 ซม. เที่ยงกับเวลา	75
4.8	สมคูลพัล้งงานของการใช้งานในเตาขนาด 27 ซม. เปรียบเทียบระหว่างถ่านไม้และถ่านหินอัดก้อน	77
4.9	กราฟแสดงความสูงของขันเขือเพลิงในเตาขนาด 24, 27 และ 30 ซม. เที่ยงกับน้ำหนักรวมความข้นของขันของเขือเพลิง	79
4.10	กราฟแสดงปริมาณความร้อนที่ให้แก่ภาชนะหุงต้มทั้งหมดโดยการแพร่รังสี ณ ตำแหน่งตรงกลางปากเตาขนาด 27 ซม. เที่ยงกับเวลา สำหรับการใช้งานแบบต่อเนื่องเปรียบเทียบระหว่างถ่านหินอัดก้อนและถ่านไม้ ลักษณะการเผาใหม้ของถ่านไม้ในระยะเริ่มแรก	82
4.11	ลักษณะการเผาใหม้ของถ่านหินอัดก้อนในระยะเริ่มแรก	85
4.12	ลักษณะการเผาใหม้ของถ่านหินอัดก้อนในระยะลูกแดงเต็มที่	85
4.13	ลักษณะการเผาใหม้ของถ่านไม้ในระยะลูกแดงเต็มที่	86
4.14	ลักษณะการเผาใหม้ของถ่านหินอัดก้อนในระยะลูกแดงเต็มที่	86
4.15	ลักษณะเส้าของถ่านไม้เทียบกับถ่านหินอัดก้อน	87
4.16	ร้อยละของออกซิเจนและการบ่อนไช์ก์ของก๊าซที่เกิดจากการเผาใหม้ถ่านไม้ เที่ยงกับเวลา ในเตาขนาด 27 ซม.	92

รูปที่

หน้า

4.17	ร้อยละของออกซิเจนและการบอนไคออกไซด์ของก๊าซที่เกิดจากการเผาไหม้ถ่านหินอัดก้อน เทียบกับเวลา ในเตาขนาด 27 ชม.	92
5.1	ความร้อนในส่วนที่นำไปใช้ประโยชน์ และส่วนที่สูญเสียตามส่วนต่าง ๆ ของเตาขนาด 27 ชม. เมื่อเทียบกับความร้อนทั้งหมดที่ให้จากเชื้อเพลิงที่เท่ากัน เปรียบเทียบระหว่างถ่านไม้และถ่านหินอัดก้อน	105